

## ЛИТЕРАТУРА

1. Крайко А. Н., Стерин Л. Е. К теории течений двухскоростной сплошной среды с твердыми или жидкими частицами. — ПММ, 1965, т. 29, № 3.
2. Иорданский С. В., Куликовский А. Г. О движении жидкости, содержащей мелкие частицы. — Изв. АН СССР. МЖГ, 1977, № 4.
3. Клебанов Л. А., Крошилин А. Е. и др. О гиперболичности, устойчивости и корректности задачи Коши для системы уравнений двухскоростного течения двухфазных сред. — ПММ, 1982, т. 46, № 1.
4. Воинов О. В., Петров А. Г. Устойчивость относительного движения фаз в течениях двухфазных сред. — ПМТФ, 1982, № 1.
5. Рахматуллин Х. А. Основы газодинамики взаимопроникающих движений сжимаемых сред. — ПММ, 1956, т. 20, № 2.
6. Крайко А. И. О корректности задачи Коши для двухжидкостной модели течения смеси газа с частицами. — ПММ, 1982, т. 46, вып. 3.
7. Воинов О. В. О силе, действующей на сферу в неоднородном потоке идеальной несжимаемой жидкости. — ПМТФ, 1973, № 4.
8. Нигматуллин Р. И. Основы механики гетерогенных сред. М.: Наука, 1978.
9. Panton R. Flow properties for the continuum viewpoint of a nonequilibrium gas-particle mixture. — J. Fluid Mech., 1968, vol. 31, pt 2. Рус. пер.— Сб. пер. Механика, 1969, № 1.

УДК 532.517.4; 532.525.2

## ИЗМЕРЕНИЕ УСЛОВНО ОСРЕДНЕННЫХ ХАРАКТЕРИСТИК ТУРБУЛЕНТНОСТИ В ПЛОСКОМ СЛЕДЕ ЗА ЦИЛИНДРОМ

A. A. Прасковский  
(Москва)

В настоящее время активно развиваются методы описания турбулентных течений на основе уравнений для плотностей распределения вероятностей (ПРВ) пульсаций скорости и концентрации [1, 2]. Такой подход к изучению турбулентности является особенно плодотворным при анализе течений с химическими реакциями. При замыкании уравнений для ПРВ принимаются некоторые гипотезы физического характера, требующие экспериментальной проверки. В частности, при замыкании уравнения для ПРВ пульсаций скорости потока в [1] на основании теории А. Н. Колмогорова — А. М. Обухова [3] высказана гипотеза о том, что в турбулентной жидкости диссипация энергии турбулентности, измеренная при фиксированном значении скорости, не зависит от этого значения. Справедливость этой гипотезы подтверждена результатами измерений дисперсии производной продольной составляющей скорости потока в плоскости симметрии следа за круговым цилиндром, где течение является полностью турбулентным [4].

Цель данной работы — проверить высказанную в [1] гипотезу в тех областях турбулентного течения, где коэффициент перемежаемости отличен от единицы, причем для оценки диссипации энергии турбулентности используются результаты измерений дисперсии производной по времени продольной составляющей скорости. В процессе измерений получен ряд других условно осредненных характеристик турбулентности потока, которые представляют самостоятельный интерес, некоторые из них также представлены в данной работе.

1. Измерения проводились в плоском следе за круговым цилиндром диаметром  $d = 36$  мм на относительном расстоянии от цилиндра  $x/d = 38,6$ . Цилиндр устанавливался на срезе сопла диаметром 1200 мм в аэродинамической трубе с открытой рабочей частью, степень турбулентности набегающего потока в отсутствие цилиндра составляла 0,4% на срезе сопла и 0,6% в сечении измерений. Опыты проводились при скорости потока  $U_0 = 5,24$  м/с, что соответствовало значению числа Рейнольдса  $Re = U_0 d / v = 1,26 \cdot 10^4$ , где  $v$  — кинематический коэффициент вязкости. Для измерения продольных составляющих средней скорости  $U$  и пульсаций скорости  $u(t)$ , где  $t$  — время, использовался термоанемометр постоянной температуры 55A01 фирмы «DISA» с датчиком 55A22 с проволокой из платинированного вольфрама диаметром 5 мкм и длиной 1 мм. Выходной сигнал термоанемометра записывался на измерительный ЧМ магнитограф «MR 800A Labcorder» в диапазоне частот 0—5 кГц, продолжительность кадра записи составляла 45 с. Записанные реализации пропускались через фильтры с крутизной характеристики 48 дБ/окта-

ву и значениями нижней и верхней граничных частот  $f_n = 1$  Гц,  $f_v = 800$  Гц соответственно, а затем при частоте опроса аналого-цифрового преобразователя  $f_0 = 5$  кГц вводились в ЭЦВМ, где вычислялись их статистические характеристики. Ограничение частотного диапазона пульсаций в области высоких частот позволило обеспечить отношение уровней исследованных сигналов к уровню фона аппаратуры 39—43 дБ, однако привело к занижению полученных в опытах значений дисперсии производной скорости (количественные оценки приведены ниже). Необходимость фильтрации в области высоких частот обусловлена тем, что фон аппаратуры имеет практически равномерный энергетический спектр (типа белого шума), а энергетический спектр пульсаций скорости с увеличением частоты резко падает. Поэтому всегда имеется некоторая частота, в данном эксперименте примерно равная 2 кГц, при которой спектральные плотности сигнала и фона сравниваются и выше которой фон превышает сигнал. При частоте 800 Гц уровень сигнала на порядок превосходил уровень фона, что и определило выбор граничной частоты фильтра. Следует отметить, что в проведенных опытах основным источником фона был магнитограф, собственный динамический диапазон которого при  $f_v = 5$  кГц составлял примерно 37 дБ.

Методика вычисления безусловно осредненных моментов и ПРВ случайных процессов достаточно хорошо известна (см., например, [5]), и останавливаться на ней нет необходимости. Для вычисления характеристик турбулентности, осредненных по турбулентной жидкости, как известно [6], вводится функция перемежаемости  $I(t)$ , равная единице в моменты времени, когда в точке наблюдения находится турбулентная жидкость, и нулю, когда — нетурбулентная. Тогда значение осредненного по турбулентной жидкости, например, момента  $n$ -го порядка пульсаций скорости вычисляется по соотношению [6]

$$\langle u^n(t) \rangle_t = \langle u^n(t)I(t) \rangle / \gamma_I,$$

где  $\gamma_I = \langle I(t) \rangle$  — коэффициент перемежаемости, полученный осреднением функции перемежаемости; индекс  $t$  означает, что осреднение проведено по турбулентной жидкости, скобки  $\langle \rangle$  — осреднение по времени  $t$ .

Алгоритм определения функции перемежаемости достаточно хорошо разработан (см., например, [7]). Для измерения  $I(t)$  прежде всего выбирается так называемая детекторная функция  $\varphi(t) \geq 0$ , непосредственно связанная с пульсациями завихренности потока. (Напомним, что турбулентная жидкость отличается от нетурбулентной именно наличием пульсаций завихренности, так как пульсации скорости имеются и в нетурбулентной жидкости.) При измерениях одноточечным датчиком в качестве  $\varphi(t)$  обычно используются функции  $|\partial u / \partial t|$ ,  $|\partial^2 u / \partial t^2|$  и т. п. (см. [7]). Далее принимается, что  $I(t) = 1$  при  $\varphi(t) \geq H$  и  $I(t) = 0$  при  $\varphi(t) < H$ , где  $H$  — некоторым образом выбранное пороговое значение. Однако из-за пульсаций детекторной функции при любом пороговом уровне условие  $\varphi(t) < H$  выполняется в течение коротких интервалов времени даже внутри турбулентной жидкости, что приводит к появлению «паразитных» нулей (т. е. значений  $I(t) = 0$  внутри турбулентной жидкости) в функции перемежаемости. Для исключения «паразитных» нулей в  $I(t)$  перед сравнением с пороговым уровнем детекторная функция пропускается через сглаживающий (интегрирующий) фильтр с граничной частотой  $f_\Phi$ . Этот процесс не следует отождествлять с фильтрацией в области высоких частот пульсационной скорости  $u$  или ее производной  $\partial u / \partial t$ . Смысл сглаживания положительно определенной детекторной функции состоит в удержании сигнала  $\varphi(t)$  над пороговым уровнем  $H$  в течение характерного времени порядка  $1/2\pi f_\Phi$  внутри турбулентной жидкости.

Имеется большое количество работ, в которых рассмотрены различные аспекты методики измерения функции перемежаемости (см., например, [7, 8]), однако единая точка зрения в вопросах выбора детекторной функции, граничной частоты сглаживающего фильтра и порогового уровня до настоящего времени не выработана. Это связано прежде всего

с тем, что при конечных значениях числа Рейнольдса нет резкой границы между турбулентной и нетурбулентной жидкостями. Поэтому при измерении функции перемежаемости всегда имеется некоторый произвол, причем погрешность измерения коэффициента перемежаемости по порядку составляет  $\text{Re}_L^{-1/4}$  (см. [1, 4]), где  $\text{Re}_L = u'L/\nu$  — число Рейнольдса турбулентности,  $u' = \sqrt{\langle u^2(t) \rangle}$  — среднеквадратичный уровень пульсаций,  $L$  — интегральный масштаб. Для обоснованного выбора параметров  $\varphi(t)$ ,  $f_\Phi$  и  $H$  в условиях проведенного эксперимента в четырех точках сечения, в которых значения коэффициента перемежаемости  $\gamma_e$ , определенные по процессу производной пульсаций скорости [6], составляли  $\gamma_e = 1; 0,698; 0,335; 0,0706$ , были рассмотрены детекторные функции  $\varphi(t) = |u|, |\partial u / \partial t|, |\partial^2 u / \partial t^2|, (\partial u / \partial t)^2, (\partial^2 u / \partial t^2)^2$ . Для каждой из этих функций при различных значениях  $f_\Phi$  определялись зависимости  $\gamma_I(H)$ . Анализ полученных зависимостей позволил выявить функцию  $\varphi(t)$  и граничную частоту стглаивающего фильтра  $j_\Phi$ , для которых функция  $\gamma_I(H)$  сравнительно слабо зависит от порогового уровня при  $\gamma_I(H) \approx \gamma_e$ . Опыты показали, что из рассмотренных детекторных функций этому условию лучше всего отвечает функция  $\varphi(t) = |\partial u / \partial t|$  при значении  $f_\Phi = 0,23 [\langle (\partial u / \partial t)^2 \rangle / \langle u^2 \rangle]^{1/2}$ . При этом диапазон значений порогового уровня, для которого  $\gamma_I(H) \approx \gamma_e$ , составлял  $H = (0,25—0,32) \langle |\partial u / \partial t| \rangle / \gamma_e$ . Вообще говоря, величину  $j_\Phi$  следует связывать с характерной частотой  $[\langle (\partial^2 u / \partial t^2)^2 \rangle / \langle (\partial u / \partial t)^2 \rangle]^{1/2}$ , а не с  $[\langle (\partial u / \partial t)^2 \rangle / \langle u^2 \rangle]^{1/2}$ , так как именно первая определяет среднее число нулей функции  $|\partial u / \partial t|$  в единицу времени [9], однако можно ожидать, что при умеренных числах Рейнольдса эти характерные частоты одного порядка, что подтверждается проведенными измерениями. Для вычисления функции перемежаемости в данной работе окончательно принималось  $\varphi(t) = |\partial u / \partial t|$ ,  $f_\Phi = 0,23 [\langle (\partial u / \partial t)^2 \rangle / \langle u^2 \rangle]^{1/2}$  (что составляло примерно 140 Гц),  $H = 0,28 \langle |\partial u / \partial t| \rangle / \gamma_e$ .

При оценке диссипации энергии турбулентности принималась гипотеза Тейлора  $\partial u / \partial x = (1/U) \partial u / \partial t$ , которая хорошо применима для течения типа следа. Определенная в проведенных опытах дисперсия производной пульсаций скорости  $\langle (\partial u / \partial t)^2 \rangle$  однозначно связана с диссипацией энергии только в случае изотропной турбулентности. Хотя турбулентность в следе за цилиндром не является изотропной, величину  $\langle \varepsilon \rangle = 15v \langle (\partial u / \partial x)^2 \rangle$  можно рассматривать как приближенную оценку диссипации энергии турбулентности. Для вычисления условного среднего значения дисперсии производной  $\langle (\partial u / \partial t)^2 \rangle_{u*}$  при заданном уровне пульсационной скорости  $u(t) = u_*$  строилась индикаторная функция  $\delta(t)$ , равная единице, когда  $u_* - \Delta u \leq u(t) \leq u_* + \Delta u$ , и нулю в остальные моменты времени, тогда

$$\langle (\partial u / \partial t)^2 \rangle_{u*} = \frac{\langle (\partial u / \partial t)^2 \delta(t) \rangle}{\langle \delta(t) \rangle}.$$

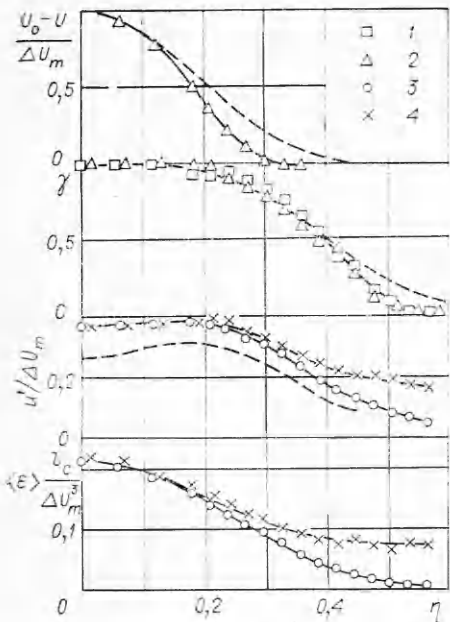
Условное среднее значение дисперсии производной скорости при заданном уровне скорости в турбулентной жидкости вычислялось по соотношению

$$\langle (\partial u / \partial t)^2 \rangle_{u*,t} = \frac{\langle (\partial u / \partial t)^2 \delta(t) I(t) \rangle}{\langle \delta(t) I(t) \rangle}.$$

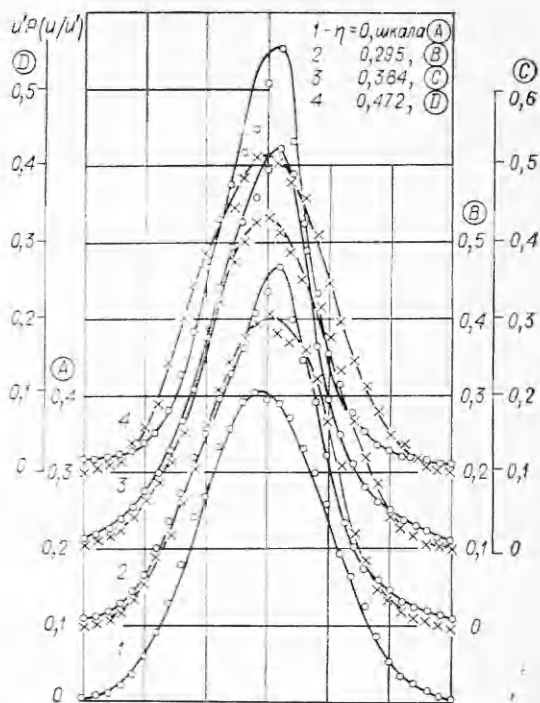
В проведенных опытах величина  $\Delta u$  принималась равной  $\Delta u = 0,05 u'$ .

2. Известно [6], что плоский след за круговым цилиндром можно считать приближенно автомодельным при  $x/d > 100$ , а полная автомодельность наступает при  $x/d > 1000$ . Характеристики течения при  $x/d = 38,6$  не являются автомодельными, тем не менее для представления результатов измерений удобно воспользоваться автомодельной переменной  $\eta = y/l_c$ , где  $y$  — расстояние от плоскости симметрии следа,  $l_c = \sqrt{(x - x_0)d}$  — эффективная ширина,  $x_0 = -50d$  — виртуальное начало следа, выбранное в соответствии с [10].

Результаты измерений профиля осредненной скорости потока приведены на фиг. 1, где  $\Delta U_m = U_0 - U(\eta = 0)$  — максимальный дефект ск



Фиг. 1



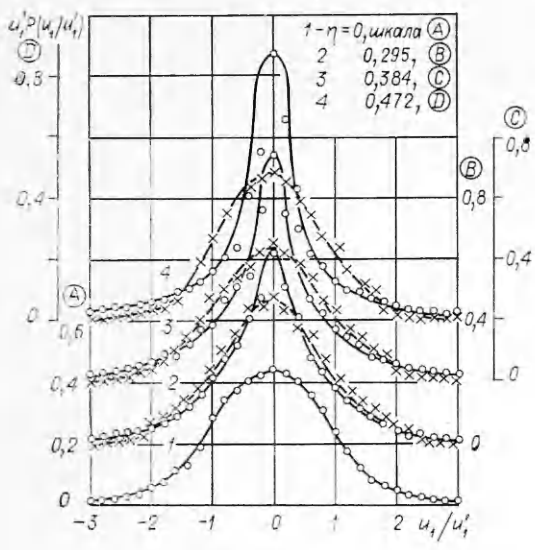
Фиг. 2

рости, в данном опыте составивший 1,16 м/с, штриховая кривая — заимствованный из [6] автомодельный профиль, полученный при  $x/d = 500 - 950$ ,  $Re = 1360$ . Видно, что по функциональному виду профиль осредненной скорости уже при  $x/d = 38,6$  достаточно близок к автомодельному и соответствующим изменениям виртуального начала  $x_0$  представленные профили можно привести в хорошее количественное соответствие. Этот результат качественно согласуется с данными [6, 10] и подтверждает, что характеристики осредненного движения быстрее приближаются к автомодельному виду, чем параметры пульсационного движения.

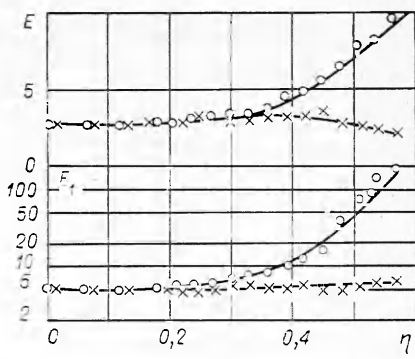
На фиг. 1 приведены результаты измерений коэффициента перемежаемости двумя методами: осреднением функции перемежаемости  $\gamma_I = \langle I(t) \rangle$  (точки 1) и по коэффициенту эксцесса производной пульсаций скорости  $\gamma_e = E_1(\eta = 0)/E_1$  (точки 2), где  $E_1 = \langle (\partial u / \partial t)^4 \rangle / [\langle (\partial u / \partial t)^2 \rangle]^2$ , а также заимствованный из [6] профиль  $\gamma(\eta)$ , полученный двумя указанными методами при  $x/d = 160$ ,  $Re = 6600$  (штриховая кривая). Видно, что при  $x/d = 38,6$  относительная ширина зоны, в которой происходит вовлечение нетурбулентной жидкости в турбулентное движение (т. е.  $\gamma > 0$ ), меньше, чем на автомодельном участке следа. Хорошее соответствие измеренных значений  $\gamma_I$  и  $\gamma_e$  позволяет надеяться, что функция перемежаемости  $I(t)$  по описанной в п. 1 методике измеряется достаточно надежно и ее можно использовать для определения условно осредненных характеристик пульсаций скорости по турбулентной жидкости.

Некоторые результаты таких измерений представлены на фиг. 1—4, на которых безусловно осредненные характеристики нанесены кружками, а осредненные по турбулентной жидкости — крестиками.

Безусловно осредненная относительная интенсивность пульсаций скорости  $u'/\Delta U_m$  при  $x/d = 38,6$  существенно выше, чем на автомодельном участке следа (штриховая линия — данные при  $x/d = 500 - 950$ ,  $Re = 1360$  [6]). Следует отметить, что среднеквадратичный уровень  $u'$  и диссипация энергии турбулентности  $\langle \varepsilon \rangle$  (см. фиг. 1), осредненные по турбулентной жидкости, изменяются по сечению намного слабее, чем соот-



Ф и г. 3



Ф и г. 4

ветствующие безусловно осредненные характеристики. Представленные данные подтверждают вывод, сделанный в [6] на основании результатов измерений и качественных физических соображений, что интенсивность

и диссипация энергии турбулентности почти одинаковы во всех точках сечения, достаточно удаленных от границы турбулентного течения, и в целом не очень сильно изменяются по сечению при осреднении по турбулентной жидкости. Можно убедиться, что полученные в опытах значения безусловно осредненной и осредненной по турбулентной жидкости дисперсии производной скорости удовлетворяют соотношению  $\langle (\partial u / \partial t)^2 \rangle \approx \approx \gamma_1 \langle (\partial u / \partial t)^2 \rangle_t$  [6], что подтверждает правильность методики проведенных измерений.

Рассмотрим погрешность измерения дисперсии производной скорости, связанную с ограниченностью частотного диапазона пульсаций в области высоких частот. Определенные в опытах по безусловно осредненным энергетическим спектрам значения продольного линейного интегрального масштаба  $L$  оказались практически постоянными при  $0 \leq \eta \leq 0,47$ . При  $\eta = 0$  интегральный масштаб получился равным  $L/l_c = 0,113$  (на автомодельном участке следа  $L/l_c \approx 0,2$  [6]), что соответствует значению  $Re_L = 1,43 \cdot 10^3$ . Нетрудно оценить, что константа диссипации  $\alpha = 10vL \langle (\partial u / \partial t)^2 \rangle / (u'^3 U^2)$  при  $\eta = 0$  (т. е. в области полностью турбулентного течения) получается равной 0,296. Вместе с тем обработка приведенных в [11] результатов измерений характеристик турбулентности за решетками показывает, что при  $Re_L = 1,5 \cdot 10^3 - 1,3 \cdot 10^4$  константа диссипации составляет  $\alpha \approx 0,42 - 0,45$  и несколько возрастает при уменьшении  $Re_L$  [12]. Следовательно, ограничение частотного диапазона пульсаций уровнем  $f_b = 800$  Гц в условиях проведенного опыта приводит к снижению значений дисперсии производной скорости примерно на 30–35 %.

Во всех рассмотренных точках были вычислены безусловно осредненные и осредненные по турбулентной жидкости нормированные ПРВ пульсационной скорости  $u'P(u/u')$  и ее производной  $u'_1 P(u_1/u'_1)$ , где  $u_1 = \partial u / \partial t$ ,  $u'_1 = \sqrt{\langle u_1^2 \rangle}$ . Осредненные по турбулентной жидкости ПРВ пульсаций скорости вычислялись в виде  $u'_t P(u_t/u'_t)$ , где  $u_t = u - \langle u \rangle_t$ , так как  $\langle u \rangle_t < 0$  (см., например, [13]). В качестве иллюстрации на фиг. 2, 3 представлены ПРВ пульсационной скорости потока и ее производной по времени в четырех точках исследованного сечения. Опытные данные показывают, что при уменьшении значения коэффициента перемежаемости различия между безусловно осредненными и осредненными по турбулентной жидкости ПРВ резко увеличиваются. Условно осредненные ПРВ практически не изменяются при уменьшении  $\gamma$  (при  $\eta = 0,472 \gamma \approx 0,15$ ),

т. е. внутри турбулентной жидкости структура пульсаций практически не изменяется по сечению. Безусловно осредненные ПРВ при уменьшении коэффициента перемежаемости приобретают все более островершинный вид, особенно ярко проявляющийся на функции  $u'_1 P(u_1/u'_1)$  (см. также [13]). Это естественный результат, так как на границе следа чередуются области турбулентного течения, где интенсивности пульсаций скорости и их производных достаточно велики, с областями нетурбулентного течения, где пульсации скорости имеют низкий уровень, а пульсации производной  $du/dt$  исчезающе малы. Особенно наглядно различие безусловных и осредненных по турбулентной жидкости ПРВ при  $\gamma < 1$  иллюстрируют приведенные на фиг. 4 результаты измерений коэффициентов эксцесса пульсационной скорости  $E = \langle u^4 \rangle / (\langle u^2 \rangle)^2$  и ее производной  $E_1 = \langle u_1^4 \rangle / (\langle u_1^2 \rangle)^2$ , которые показывают, что при  $\eta = 0,561$  ( $\gamma \approx 0,027$ ) безусловно осредненные коэффициенты  $E$  и  $E_1$  достигают значений 9,89 и 197 соответственно. Значения тех же величин, полученные осреднением по турбулентной жидкости, практически не изменяются по сечению и составляют соответственно  $E_t \approx 3$ ,  $E_{1,t} \approx 5$ .

Теоретически наличие областей нетурбулентной жидкости должно приводить к появлению на безусловно осредненных ПРВ острых пиков, особенно резких на ПРВ производной пульсаций, в то время как приведенные на фиг. 2, 3 зависимости имеют вблизи центра достаточно широкие гладкие максимумы. В [4] указано две причины этого сглаживания: неточность измерений и влияние молекулярного переноса. Неточность измерений обусловлена тем, что при вычислении ПРВ использовались конечные значения интервалов  $\delta u = 0,2u'$  и  $\delta u_1 = 0,2u'_1$ , внутри которых функции  $u'_1 P(u_1/u'_1)$  осреднялись. Влияние молекулярного переноса имеет принципиальный характер [1]. Дело в том, что резкая граница между турбулентной и нетурбулентной жидкостями имеется только при бесконечно большом числе Рейнольдса. При конечных значениях  $Re$  перенос импульса за счет молекулярной вязкости приводит к появлению между турбулентной и нетурбулентной жидкостями переходного слоя конечной толщины, в котором имеются пульсации завихренности.

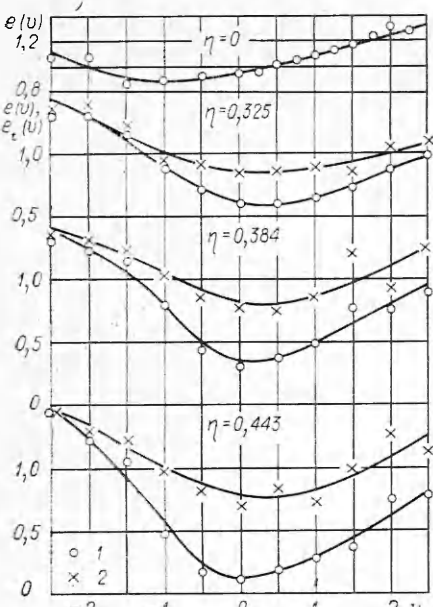
Следует отметить, что осредненный по турбулентной жидкости коэффициент эксцесса производной пульсации скорости составляет примерно  $E_{1,t} \approx 5$  (см. фиг. 4), следовательно, ПРВ  $u'_{1,t} P(u_{1,t}/u'_{1,t})$  существенно отличается от нормальной. Этот результат подтверждает высказанные в [3] соображения о том, что коэффициент эксцесса производной пульсационной скорости должен превышать соответствующее нормальному закону значение 3 из-за перемежаемости мелкомасштабных составляющих пульсаций, которая проявляется даже в турбулентной жидкости.

3. Измерения условных средних значений дисперсии производной скорости при фиксированном уровне пульсационной скорости  $u(t) = u_*$  были проведены в четырех точках сечения при  $\eta = 0; 0,325; 0,384; 0,443$  ( $\gamma_I = 0,996; 0,756; 0,540; 0,303$  соответственно). Результаты измерений представлены на фиг. 5 в безразмерном виде

$$e(v) = \frac{\langle (\partial u / \partial t)^2 \rangle_v}{\langle (\partial u / \partial t)^2 \rangle_t}, \quad e_t(v) = \frac{\langle (\partial u / \partial t)^2 \rangle_{v,t}}{\langle (\partial u / \partial t)^2 \rangle_t}, \quad v = u_*/u'$$

$(e(v))$  — точки 1,  $e_t(v)$  — точки 2).

При  $\eta = 0$  функции  $e(v)$  и  $e_t(v)$  совпадают, так как  $\gamma_I \approx 1$ . В плоскости симметрии следа условно осредненная дисперсия производной  $e(v)$  изменяется примерно на  $\pm 20\%$  при изменении уровня  $v$  в диапазоне  $-2,5 - +2,5$ . Отметим, что в проведенных опытах из-за ограниченности выборки относительная статистическая погрешность измерения  $e(v)$  достигла 25 % при  $|v| = 2,5$ . С учетом этого обстоятельства можно считать, что результаты измерения условно осредненной дисперсии производной скорости в плоскости симметрии следа подтверждают гипотезу о независи-



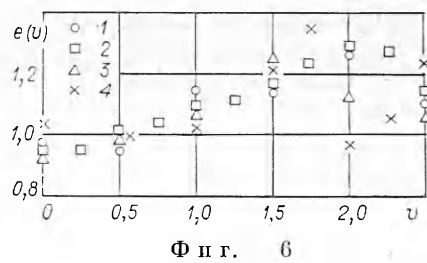
Фиг. 5

$e(v)$  слабо зависит от  $v$  [14], не соответствует действительности при  $\gamma < 1$ . Дисперсия производной  $e_t(v)$ , вычисленная по турбулентной жидкости, во всех рассмотренных точках изменяется значительно слабее, чем  $e(v)$ . При  $\eta = 0,443$  ( $\gamma_I = 0,303$ ) величина  $e_t(v)$  возрастает примерно в 2 раза при изменении уровня  $|v|$  от 0 до 2,5, однако при замыкании уравнения для ПРВ пульсаций скорости этим изменением, по-видимому, можно пре-небречь. Представленные на фиг. 5 данные показывают, что выдвинутая в [1] гипотеза о независимости условно осредненной диссипации энергии турбулентности от уровня осреднения в турбулентной жидкости приближенно выполняется при  $0,3 \leq \gamma \leq 1$ .

Следует обратить внимание, что функции  $e(v)$  и  $e_t(v)$  при больших уровнях практически совпадают. Это объясняется тем, что интенсивность пульсаций скорости в нетурбулентной жидкости существенно ниже, чем в турбулентной, поэтому функция  $e(v)$  при больших  $|v|$  практически полностью определяется дисперсией производной скорости в турбулентной жидкости. Несимметричный характер зависимостей  $e(v)$  и  $e_t(v)$  относительно оси  $v = 0$  связан с асимметрией безусловно осредненных ПРВ пульсаций скорости (см. фиг. 2).

Выше указывалось, что в проведенных опытах при верхней границе анализируемых частот  $f_v = 800$  Гц значение дисперсии производной  $\langle (\partial u / \partial t)^2 \rangle$  занижено. Отметим, что в [4] относительный частотный диапазон аппаратуры был примерно в 2 раза меньше, чем в данных опытах. Поэтому необходимо рассмотреть вопрос о влиянии ограниченности верхнего предела частотного диапазона на результаты измерений функции  $e(v)$ . Для этого записанная на магнитограф реализация, соответствующая  $\eta = 0$ , была дополнительно обработана при  $f_v = 100, 315$  и  $2000$  Гц с частотами опроса  $f_0 = 0,5, 2$  и  $10$  кГц соответственно. Отношение уровня полезного сигнала к уровню фона аппаратуры при  $f_v = 2$  кГц составляло 37 дБ. Константа диссипации  $\alpha$  при  $f_v = 2$  кГц равнялась 0,453, что хорошо согласуется с данными [11]. (Непосредственные измерения спектра производной скорости подтвердили, что частота Колмогорова в проведенных опытах составляет примерно 2 кГц).

Результаты измерений условно осредненной дисперсии производной скорости  $e(v)$  при различных значениях верхней граничной частоты приведены на фиг. 6, где точки 1 —  $f_v = 2$  кГц, 2 — 800 Гц, 3 — 315 Гц, 4 — 100 Гц. Видно, что функциональный вид зависимости  $e(v)$  при  $0 \leq$



Фиг. 6

мости величины  $\langle (\partial u / \partial t)^2 \rangle_v$  от уровня  $v$  в полностью турбулентном течении и хорошо согласуются с опытными данными [4].

При  $\gamma < 1$  функция  $e(v)$  монотонно возрастает при увеличении уровня  $|v|$ . Это естественный результат, так как при малых значениях  $|v|$  величина  $\langle (\partial u / \partial t)^2 \rangle_v$  уменьшается за счет попадания в рассматриваемую точку нетурбулентной жидкости, где пульсации производной  $\partial u / \partial t$  пре-небрежимо малы. Поэтому принимаемое иногда допущение о том, что

$\leq v \leq 2,5$  практически не изменяется при  $100 \text{ Гц} \leq f_v \leq 2 \text{ кГц}$  (что соответствует диапазону  $5,91 \leq 2\pi f_v L/U \leq 118$ ). Это подтверждает достоверность представленных в [4] и в данной работе результатов и справедливость сделанных на их основе выводов.

Поступила 30 IX 1982

#### ЛИТЕРАТУРА

1. Кузнецов В. Р., Сабельников В. А. Перемежаемость и распределения вероятностей скорости в турбулентных потоках. — Усп. механики, 1981, т. 4, № 3.
2. Кузнецов В. Р., Сабельников В. А. Перемежаемость и распределения вероятностей концентрации в турбулентных потоках. — Усп. механики, 1981, т. 4, № 2.
3. Монин А. С., Яглом А. М. Статистическая гидромеханика. Ч. II. М.: Наука, 1967.
4. Кузнецов В. Р., Расщупкин В. И. Распределение вероятностей и условное среднене в турбулентных потоках. — Изв. АН СССР. МЖГ, 1977, № 6.
5. Бендат Д., Пирсол А. Измерение и анализ случайных процессов. М.: Мир, 1974.
6. Таунсенд А. А. Структура турбулентного потока с поперечным сдвигом. М.: ИЛ, 1959.
7. Hedley T. B., Keffer J. F. Turbulent/non-turbulent decisions in an intermittent flow. — J. Fluid Mech., 1974, vol. 64, pt 4.
8. La Rue J. C. Detection of the turbulent-nonturbulent interface in slightly heated turbulent shear flows. — Phys. Fluids, 1974, vol. 17, N 8.
9. Тихонов В. И. Выборы случайных процессов. М.: Наука, 1970.
10. Freymuth P., Uberoi M. S. Structure of temperature fluctuations in the turbulent wake behind a heated cylinder. — Phys. Fluids, 1971, vol. 14, N 12.
11. Kistler A. L., Vrebalovich T. Grid turbulence of large Reynolds numbers. — J. Fluid Mech., 1966, vol. 26, pt 1.
12. Бэтчелор Д. К. Теория однородной турбулентности. М.: ИЛ, 1955.
13. Thomas R. M. Conditional sampling and other measurements in a plane turbulent wake. — J. Fluid Mech., 1973, vol. 57, pt 3.
14. Кузнецов В. Р. О плотности вероятности скоростей в двух точках однородного изотропного турбулентного потока. — ПММ, 1967, т. 31, вып. 6.

УДК 532.526.011.56

### ГИПЕРЗВУКОВОЕ ТЕЧЕНИЕ ВЯЗКОГО ГАЗА НА ПОВЕРХНОСТИ ЗАТУПЛЕННОГО КОНУСА ПРИ СИЛЬНОМ ВДУВЕ В ОКРЕСТНОСТИ ЗАТУПЛЕНИЯ

Ю. Н. Ермак

(Москва)

**Введение.** Одним из эффективных способов теплозащиты гиперзвукового летательного аппарата является использование сильного вдува. Исследованию проблем газовой динамики, возникающих при этом, посвящен целый ряд работ (например, [1—4]). В этих работах найдены асимптотические решения уравнений Навье — Стокса в окрестности затупления при условии, что  $M_\infty \gg 1$ ,  $(\rho_\infty/\rho_1) \ll 1$ ,  $Re_1 \gg 1$ ,  $(v_w/u_\infty) \gg 1/\sqrt{Re_1}$ , где  $M_\infty$  — число Маха набегающего потока,  $u_\infty$  — скорость набегающего потока,  $\rho_\infty$  — плотность набегающего потока,  $\rho_1$  — плотность газа за ударной волной,  $Re_1$  — число Рейнольдса, рассчитанное по скорости и плотности набегающего потока, радиусу затупления и коэффициенту вязкости при температуре торможения,  $v_w$  — скорость вдува на поверхности тела. Кроме того, в [4] представлена классификация режимов течения, возможных при обтекании затупленных тел пространственным гиперзвуковым потоком вязкого газа. Течение газа предполагается ламинарным.

В данной работе исследуется задача о поглощении газа, вдуваемого в окрестности малого затупления, пограничным слоем на боковой поверхности конуса. Рассматривается ламинарное обтекание затупленного конуса гиперзвуковым потоком вязкого газа. В окрестности затупления конуса газ вдувается таким образом, что пограничный слой отстает от поверхности и становится слоем смешения, толщина которого много меньше толщины вдуваемого газа. В свою очередь, толщина слоя вдува много меньше толщины ударного слоя, и течение в нем описывается уравнениями невязкого пограничного слоя. Слой вдува остается невязким на некотором расстоянии вниз по потоку и на боковой поверхности конуса, где вдув прекращен. Однако затем этот слой газа поглощается пограничным слоем на поверхности тела и слоем смешения на контактной границе с горячим газом за ударной волной.